

НИЗКОТЕМПЕРАТУРНАЯ ЭРОЗИОННАЯ ПЛАЗМА
КАК ЭФФЕКТИВНЫЙ УТРОИТЕЛЬ ЧАСТОТЫ
ОПТИЧЕСКОГО ИЗЛУЧЕНИЯ

С.М. Гладков, А.М. Желтиков,
Н.И. Коротеев, А.Б. Федотов

1. В настоящем письме мы сообщаем об эффективной генерации третьей гармоники излучения с длиной волны $\lambda_0 = 1.06$ мкм в плазме оптического пробоя в когерентном (коллинеарном) режиме. В отличие от традиционных подходов [1–3], мы использовали новую экспериментальную схему, близкую к реализованной в работе [4], имеющую следующие отличительные черты: 1) для оптического пробоя и генерации гармоник используются независимые источники излучения: для создания плазмы – с длительностью импульса $\tau = 15$ нс, а для генерации гармоники – импульс с $\tau = 40$ пс с регулируемой оптической задержкой между ними; 2) энергия пикосекундного источника не превышает 50 мДж в импульсе; 3) плотность плазмы невысока, так что частоты излучений гораздо больше плазменных частот и среда почти полностью прозрачна для излучений. В результате удалось довести энергетический КПД преобразования в третью гармонику до 3%.

2. Схема экспериментальной установки для наблюдения генерации третьей гармоники, использовавшейся в наших экспериментах, приведена на рис. 1. Зондирующая система состояла из генератора на *Nd:YAG* с пассивной синхронизацией мод, низковольтной системы выделения одиночного импульса (см. [5]), линии оптической задержки и двух каскадов усиления. Параметры излучения: длина волны $\lambda_0 = 1.06$ мкм, энергия одиночного импульса излучения – до 40 мДж, длительность импульса $\tau = 40$ пс, частота повторения импульсов генерации – 1.2 Гц.

Для создания лазерной плазмы служил независимый источник на *Nd:YAG*, работающий в режиме модуляции добротности ($\lambda = 1.06$ мкм, $W = 250$ мДж, $\tau = 15$ нс) и синхронизованный с пикосекундной системой.

Система синхронизации подобна описанной в работе [6]. Она служила для формирования импульса запуска модуляции добротности источника оптического пробоя и запускалась одним из первых импульсов шуга на выходе пикосекундного генератора.

Излучение источника оптического пробоя фокусировалось цилиндрической линзой на поверхность расплавленного свинца в воздухе (см. рис. 1). При просвечивании области плазменного сгустка излучением пикосекундной длительности наблюдалась ГТГ коллинеарно зондирующему лучу. При этом излучение гармоники было остронаправленным, с расходимостью, близкой к дифракционной. Излучение на длине волны $\lambda = 0.355$ мкм выделялось с помощью светофильтра.

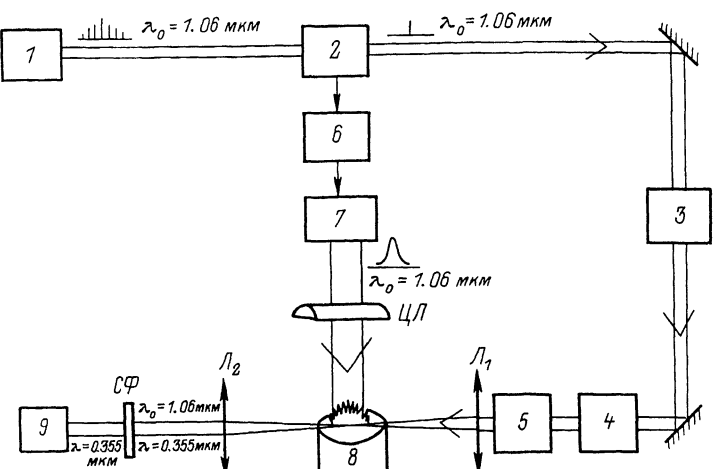


Рис. 1. Схема экспериментальной установки для наблюдения ГТГ.
 1 – генератор цуга пикосекундных импульсов на Nd:YAG с пассивной синхронизацией мод, 2 – система выделения одиночного светового импульса, 3 – линия оптической задержки, 4 – 1-й каскад усиления, 5 – 2-й каскад усиления, 6 – система синхронизации, 7 – лазерная система на Nd:YAG для создания плазмы, 8 – тигель с расплавом свинца, 9 – измеритель энергии, ЦЛ – цилиндрическая линза, L_1 , L_2 – сферические линзы, СФ – светофильтр.

Оптимизация условий ГТГ производилась подбором временной задержки и перемещением свинцовой мишени в направлении, перпендикулярном оси зондирующего пучка. Полученный нами коэффициент преобразования в третью гармонику по энергии составил 3%. Максимальная энергия третьей гармоники в наших экспериментах была 1 мДж.

Отметим, что ГТГ, имевшая место в наших условиях при „самопробое“ воздуха самим излучением накачки, имела на один–два порядка меньшую эффективность.

На диаграмме рис. 2 представлены результаты выполненных к настоящему времени экспериментов по ГТГ в самопробое и пробое на поверхности металлов с использованием импульсов различных длительностей и энергий.

3. Теоретическое моделирование процесса генерации гармоник в наших условиях может быть выполнено на основе модели классической столкновительной плазмы [7]. В такой модели оптическая нелинейность плазмы обусловлена зависимостью частоты электрон–ионных соударений от напряженности поля накачки (см. также [8]). В работе [7] была предсказана возможность генерации третьей гармоники в нестационарном режиме с КПД до 1%.

По нашему мнению, более последовательный подход к описанию генерации оптических гармоник в условиях наших экспериментов

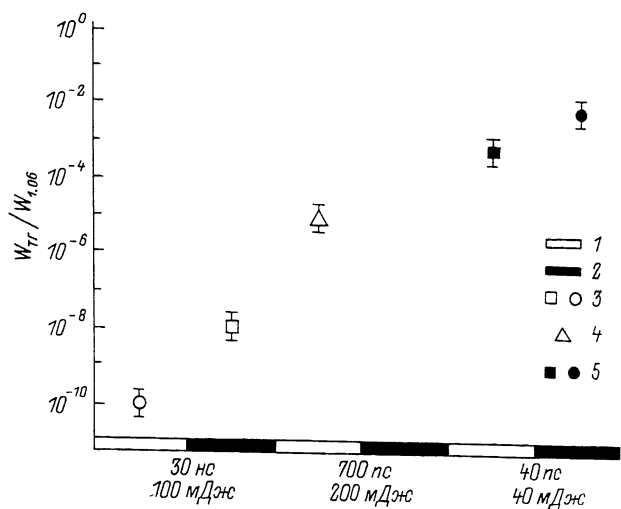


Рис. 2. Результаты экспериментов по ГТГ в условиях оптического пробоя. 1 - самопробой, 2 - пробой на поверхности металла, 3 - [4], 4 - [12], 5 - настоящая работа.

состоит в рассмотрении этого процесса как результата рассеяния электрона на ионе в присутствии сильного оптического поля. Мы предполагаем, что взаимодействие электрона со световым полем значительно сильнее, чем с ионом, и влияние последнего учитывается как малое возмущение (подробности расчета см. в [9]). Заметим, что в этом состоит отличие предлагаемого метода от обычно используемого метода расчета нелинейных восприимчивостей, которое предполагает вносимое световым полем возмущение малым по сравнению с кулоновским взаимодействием [10].

Волновая функция свободного электрона, имеющего волновой вектор \vec{k} , в поле $\vec{E}(t) = \vec{E} \sin \omega t$ может быть записана в виде [11] :

$$\psi_{\vec{k}} = \frac{1}{(2\pi)^3/2} \exp \left\{ i \left(\vec{k} \cdot \vec{r} - \frac{\hbar k^2}{2m} t + \frac{e \vec{k} \cdot \vec{E}}{m \omega^2} \sin \omega t - \frac{1}{4m\hbar} \left(\frac{eE}{\omega} \right)^2 \left(\frac{\sin 2\omega t}{2\omega} + t \right) \right) \right\}.$$

Предположим, что в начальный момент времени электрон локализован в области пространства с характерным размером $l = \alpha^{-1}$, и его невозмущенная волновая функция имеет вид:

$$\psi_{\vec{k}}^0 = \psi_{\vec{k}} \exp(-\alpha r).$$

Тогда для проекции дипольного момента, осциллирующего на частоте $n\omega$, на направление поля в первом порядке теории возмущений для нечетных n имеем:

$$d^{\pi\omega} = \frac{32i\alpha^2 k^2 e^3}{\pi^2 \hbar} \int_0^\infty \sum_{s=1}^\infty (V_s^{(+)} + V_s^{(-)}) \left(\frac{1}{\omega_{kk'} + s\omega} - \frac{1}{\omega_{kk'} - s\omega} \right) \frac{q^3 dq}{(\alpha^2 + q^2)^4}, \quad (1)$$

где $\vec{q} = \vec{k} - \vec{k}'$; $\omega_{kk'} = \frac{\hbar}{2m}(k'^2 - k^2)$;

$$V_s^{(\pm)} = \frac{\left(\frac{eqE}{m\omega^2}\right)^{2s\pm n}}{2^{2s\pm n}(2s\pm n+2)s!(s\pm n)!} {}_3F_4\left(\frac{2s\pm n+1}{2}, \frac{2s\pm n+2}{2}; \frac{2s\pm n+4}{2}; -\left(\frac{eqE}{m\omega^2}\right)^2\right),$$

$$\frac{2s\pm n+2}{2}; s+1, s\pm n+1, 2s\pm n+1, \frac{2s\pm n+4}{2}; -\left(\frac{eqE}{m\omega^2}\right)^2 \quad (2)$$

при $s > n$.

При $s < n$ для $V_s^{(+)}$ выражение (2) по-прежнему верно, для $V_s^{(-)}$ имеем:

$$V_s^{(-)} = \frac{(-1)^{n-s} \left(\frac{eqE}{m\omega^2}\right)^n}{2^n (n+2) s! (n-s)!} {}_3F_4\left(\frac{n+1}{2}, \frac{n+2}{2}, \frac{n+2}{2}; s+1, n-s+1, n+1, \frac{n+4}{2}; -\left(\frac{eqE}{m\omega^2}\right)^2\right), \quad (3)$$

${}_3F_4(x_3; \beta_4; z)$ – гипергеометрическая функция.

Для четных n составляющая дипольного момента вдоль поля равна нулю.

Выражения [1–3] позволяют произвести оценку интенсивности излучения третьей гармоники в наших условиях. Если используется излучение накачки с длиной волны $\lambda_0 = 1.06$ мкм, интенсивностью $I = 10^{13}$ Вт/см², плотность электронов составляет $N = 10^{19}$ см⁻³, то, предполагая выполненным условие фазового синхронизма на длине $L = 0.1$ см, получаем коэффициент преобразования в третью гармонику $\eta = 0.05$.

Как отмечалось ранее в работе [4], возрастание эффективности ГТГ при оптическом пробое может быть связано с квазирезонансным увеличением нелинейной кубической восприимчивости среды при заселении в плазме высоковозбужденных уровней атомов и ионов. Вопрос об относительной величине вкладов обоих указанных механизмов в ГТГ требует дополнительного исследования.

4. Таким образом, мы показали, что применение независимых синхронизированных источников зондирования и оптического пробоя позволяет осуществить ГТГ в плазме оптического пробоя с достаточно высокой эффективностью. Повышение мощности источников накачки позволит реально использовать плазму оптического пробоя как среду для преобразования частот оптических излучений. Отме-

тим, что особый интерес представляет исследование механизма насыщения ГТГ.

Отметим, что экспериментально полученный коэффициент преобразования в третью гармонику согласуется с результатом, к которому приводит предложенный нами метод расчета. На основании наших теоретических и экспериментальных оценок мы считаем возможным получение КПД порядка 10% и более.

В заключение авторы выражают благодарность профессору С.А. Ахманову, а также М.В. Рычеву за плодотворное обсуждение результатов, В.П. Михайлову и Г.А. Прибылку за помощь в изготавлении низковольтной системы выделения импульса.

Л и т е р а т у р а

- [1] McLean E.A., Stampfer J.A., Ripin B.H. - Appl. Phys. Lett., 1977, v. 31, N 12, p. 825-828.
- [2] Burnett N.H., Baldiss H.A., Richardson M.C. - Appl. Phys. Lett., 1977, v. 31, N 3, p. 172-177.
- [3] Carmean R.L., Rhodes C.K., Benjamin R.F. - Phys. Rev. A, 1981, v. 24, N 5, p. 2649-2663.
- [4] Гладков С.М., Коротеев Н.И., Рычев М.В., Федоров А.Б. - Письма в ЖТФ, 1986, т. 12, в. 20, с. 1272-1276.
- [5] Демчук М.И., Дмитриев С.М., Михайлов В.П. и др. - ПТЭ, 1987, № 3, с. 165-167.
- [6] Демидов А.А., Есаян Г.М., Калайдзи-дис Я.Л. - ПТЭ, 1984, № 3, с. 186-187.
- [7] Sharma A.K. - J. Appl. Phys., 1984, v. 55, N 3, p. 690-692.
- [8] Гинзбург В.Л. Распространение электромагнитных волн в плазме, М.: Наука, 1967.
- [9] Ахманов С.А., Гладков С.М., Коротеев Н.И., Желтиков А.М. - Препринт МГУ, № 5, 1988.
- [10] Бломберг Н. Нелинейная оптика, М.: Мир, 1965.
- [11] Елютин П.В. Теоретические основы квантовой радиофизики, М.: МГУ, 1982.
- [12] Гладков С.М., Желтиков А.М., Коротеев Н.И. и др. - Изв. АН СССР, Сер. физ., 1988, т. 52, № 2, с. 443-452.

Московский государственный
университет им. М.В. Ломоносова

Поступило в Редакцию
18 апреля 1988 г.